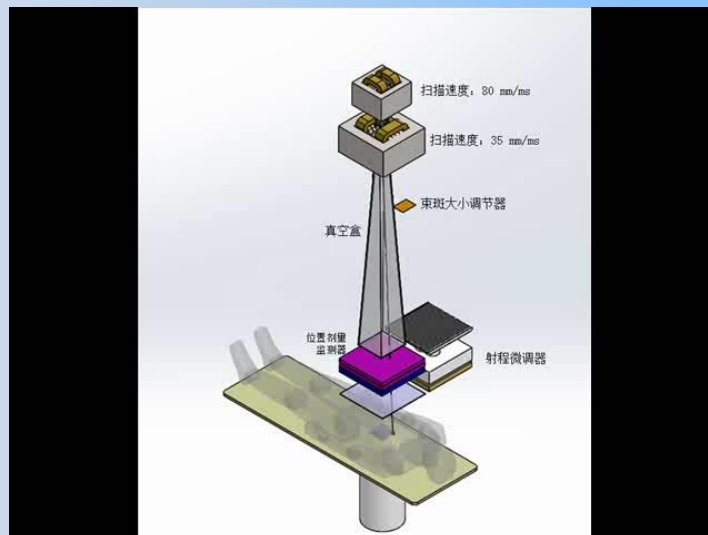


核医学成像技术 在质子重离子放疗剂量监测中的应用

刘亚强
清华大学
2019/7/20

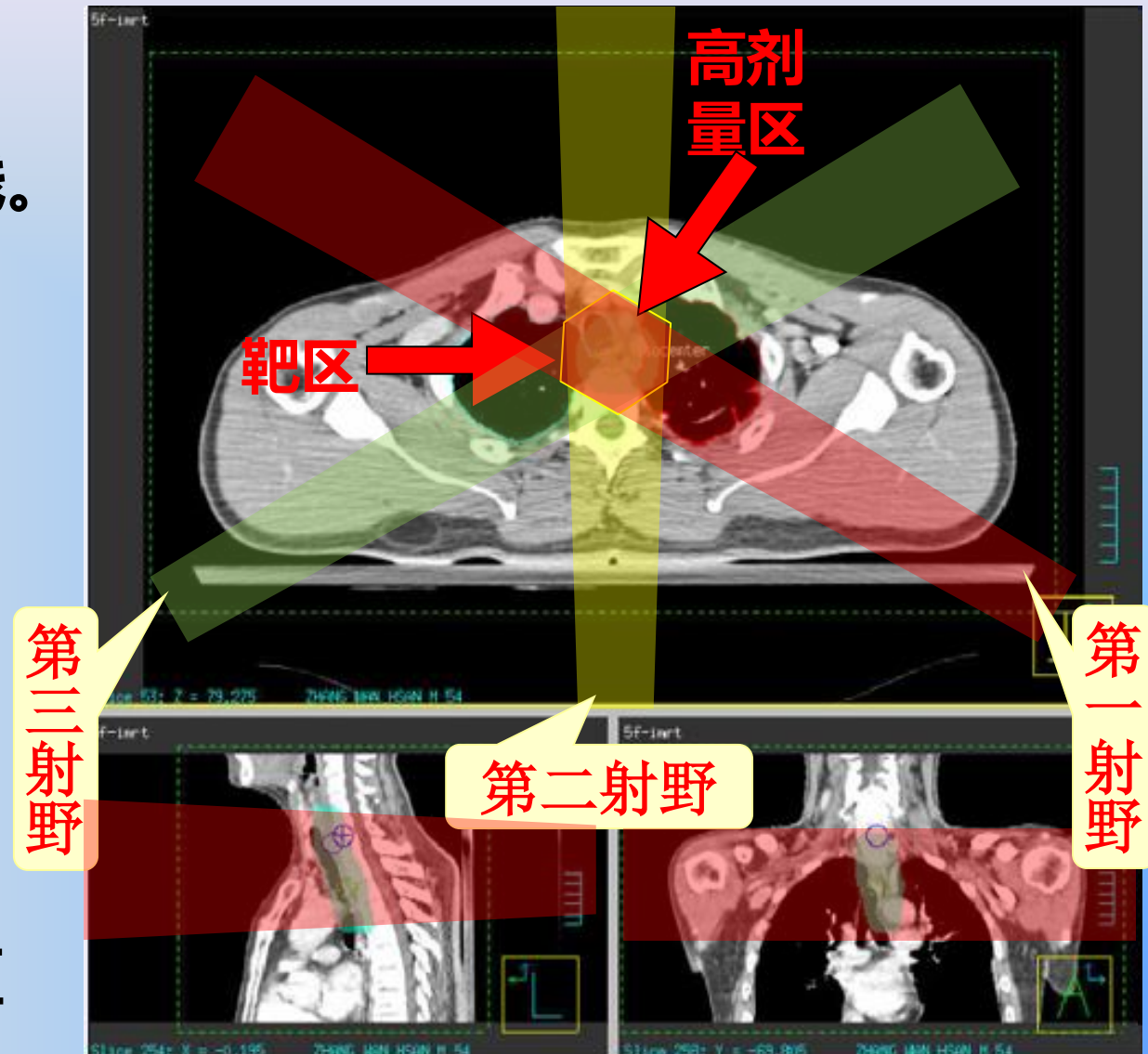


常规放射治疗

常规放疗属于
远距离放射治疗，
需使用高能X射线。

它以**强度均匀、
形状规则的辐射野**为基础。为使
肿瘤得到比周围
组织高的照射剂量，每次从2~3
个不同角度照射。

主要的装置是
钴-60治疗机和直
线加速器。

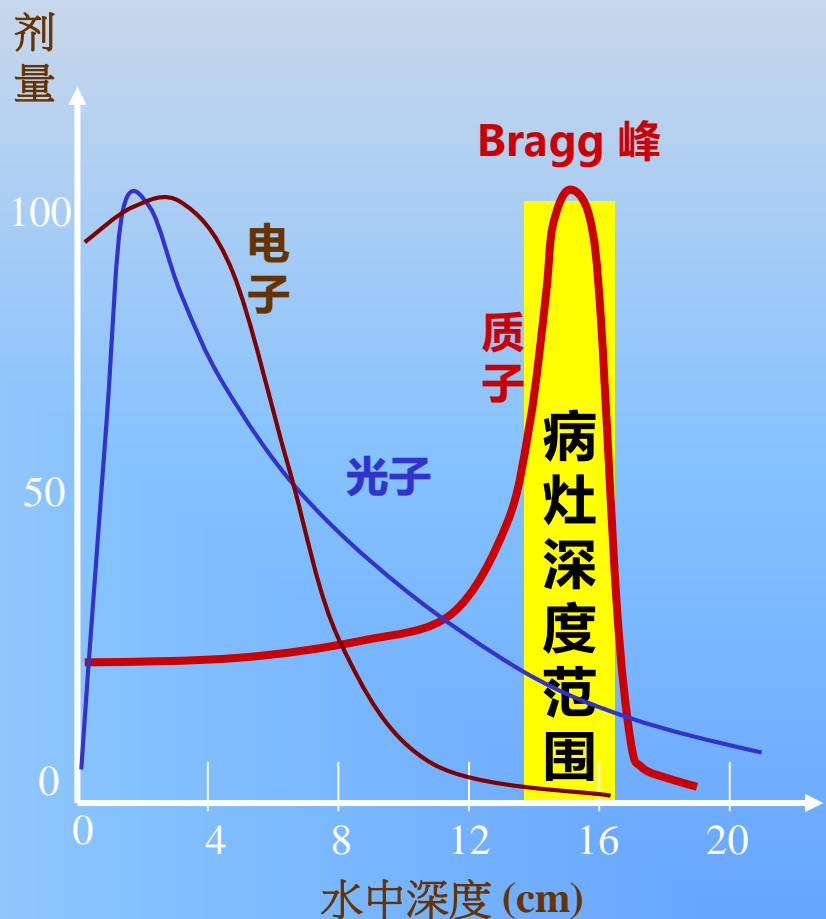


食管癌放射治疗

质子和重离子治疗

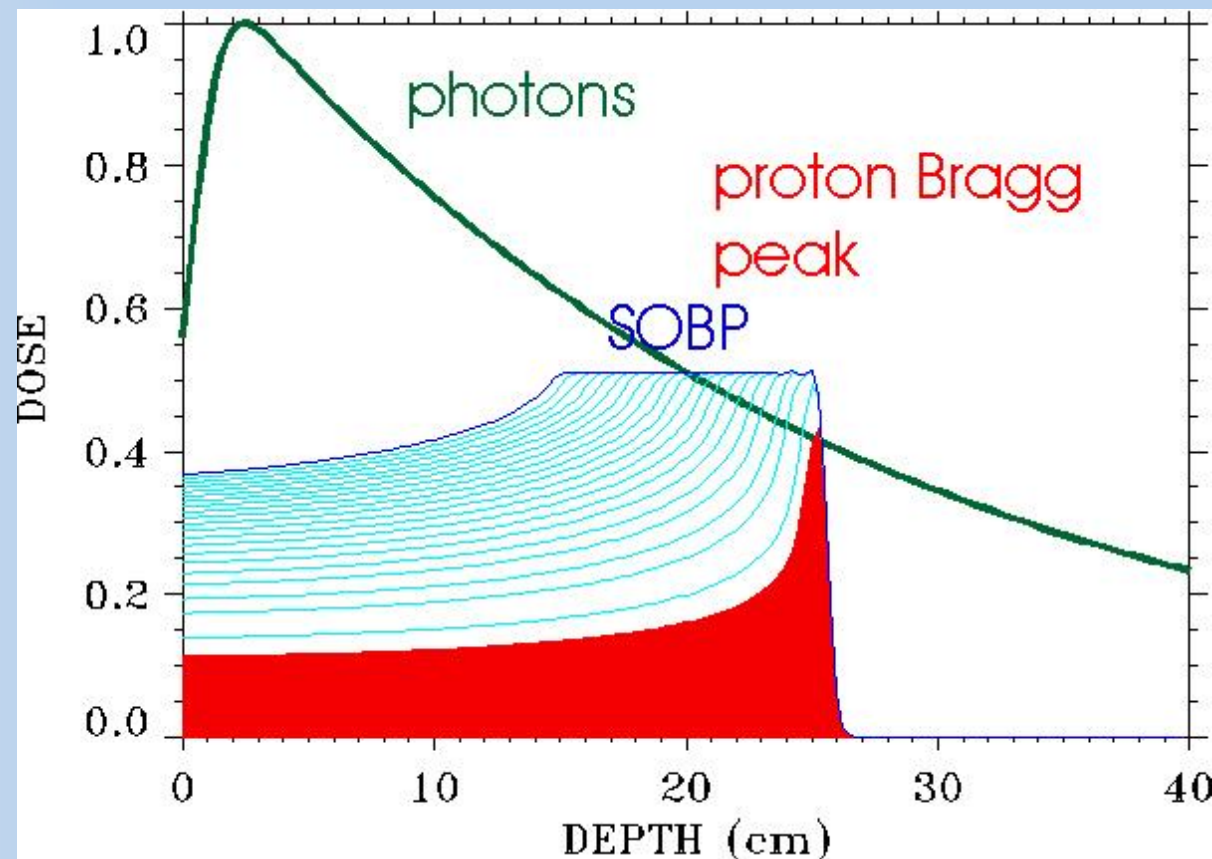
γ 和X射线在人体中的剂量随入射深度增加而呈指数衰减，大部分能量都释放到靠近表皮的正常组织中，深部的肿瘤得不到足够的剂量。

高能质子和带电重离子进入人体后会逐渐减速，但与原子的核外电子作用却在增大，在终点附近与电子的作用最大，将大部分能量释放出来，这个发生最高剂量的区域叫作“**Bragg峰**”。

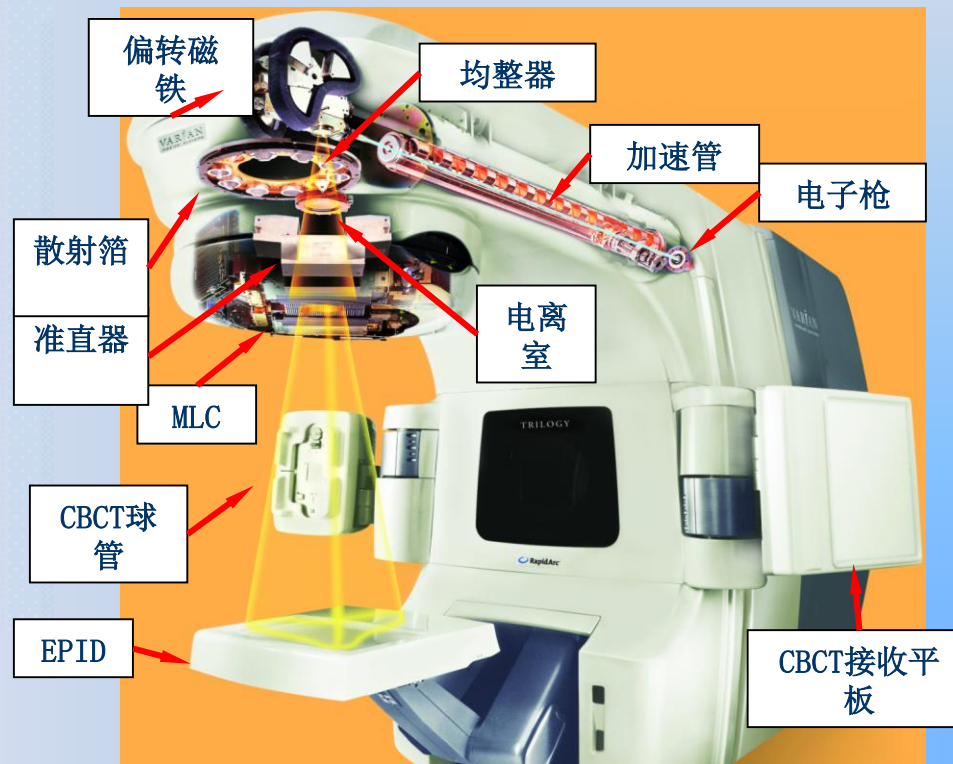


质子和带电重离子的能量及其在人体内经过的组织密度决定了Bragg峰的位置，这使得医生能够控制最大剂量区的深度，使之精确地覆盖整个肿瘤。如果进行多方向、多射野的治疗，施加到正常组织的剂量可以更低，而在束流重叠处的剂量可以大大增加。

质子和重离子治疗对靠近重要器官的肿瘤有特别的意义。如眼部黑色素瘤、颅内肿瘤、动静脉畸形、垂体瘤、前列腺瘤、脊索瘤、软骨肉瘤、头颈和子宫瘤。



医用电子直线加速器



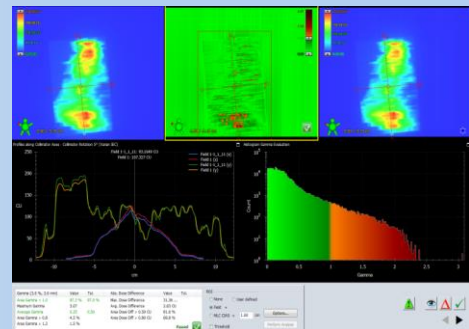
电子射野影像装置 (EPID)



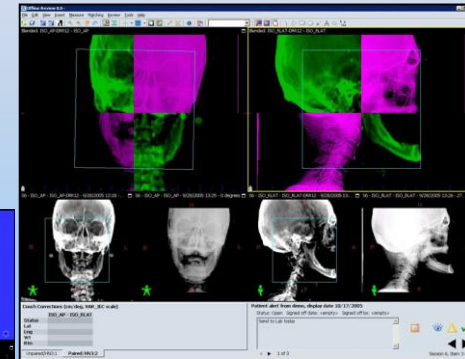
电子射野影像装置

EPID的临床应用

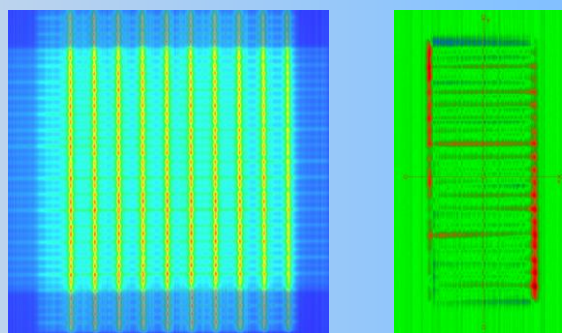
位置验证



剂量验证



加速器的质控



质子重离子治疗

- 缺点：射程偏差导致目标靶区剂量不足，健康组织辐照风险

常见造成射程偏差的因素^[1]

治疗计划中的设定误差	CT图像伪影 CT图像转换误差 治疗方案计算近似误差
治疗过程与治疗计划的偏差	病人的摆位偏差 体内器官的运动 肿瘤形态变化
.....	

→ • 解决途径：

- 设置安全边界^[2]

MD Anderson: 3.5% + 3 mm

-> 导致健康区域辐照风险

- 治疗过程监测

PET

瞬发光子成像

-> 通过探测治疗过程中产生的次级粒子实现对射程和剂量的实时监测

[1] Smeets J., 2012 [2] Harald P., 2012

PET射程监测原理

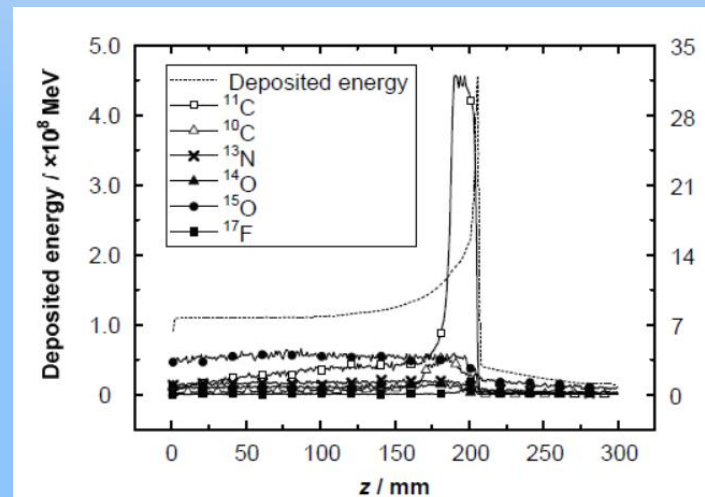
- 质子、重离子射束径迹上产生C-11, N-13和O-15等正电子核素，可用PET监测其空间分布，进而推测Bragg峰位置

Radionuclide	Half live (min)	Nuclear reaction channels / Threshold energies (MeV)
^{15}O	2.037	$^{16}\text{O}(\text{p},\text{pn})^{15}\text{O}/16.79$
^{11}C	20.385	$^{12}\text{C}(\text{p},\text{pn})^{11}\text{C}/20.61$, $^{14}\text{N}(\text{p},2\text{p}2\text{n})^{11}\text{C}/3.22$, $^{16}\text{O}(\text{p},3\text{p}3\text{n})^{11}\text{C}/59.64$
^{13}N	9.965	$^{16}\text{O}(\text{p},2\text{p}2\text{n})^{13}\text{N}/5.66$, $^{14}\text{N}(\text{p},\text{pn})^{13}\text{N}/11.44$
^{30}P	2.498	$^{31}\text{P}(\text{p},\text{pn})^{30}\text{P}/19.7$
^{38}K	7.636	$^{40}\text{Ca}(\text{p},2\text{p}2\text{n})^{38}\text{K}/21.2$

质子治疗中产生的主要正电子核素^[1]

[1] Beebe-Wang J, et.al, 2003

[2] Jing Wu, et al., 2010

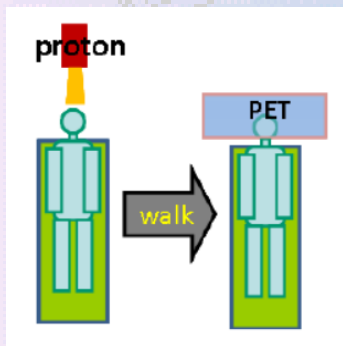


^{12}C 重离子在水介质中沉积能量和正电子核素分布图^[2]



PET射程监测方案

- Off-line PET



✓ 成熟的PET/CT系统

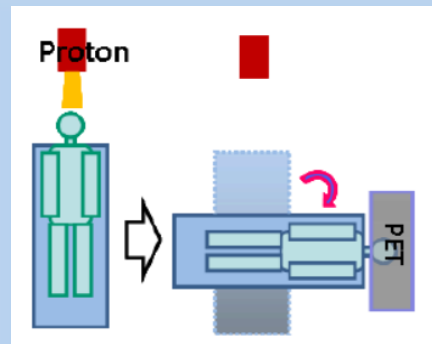
✓ 可以与治疗计划中的CT融合

✓ 可靠的衰减校正

✗ 成像时间延迟长

✗ 核素生物学清除

- In room PET



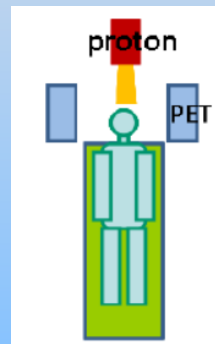
✓ 成像延迟平均2.5分钟

✓ 价格相对低

✓ 图像质量好

✗ 图像融合误差

- In-beam PET



✓ 数据获取无延迟

✓ 活度高

✗ 专用PET系统

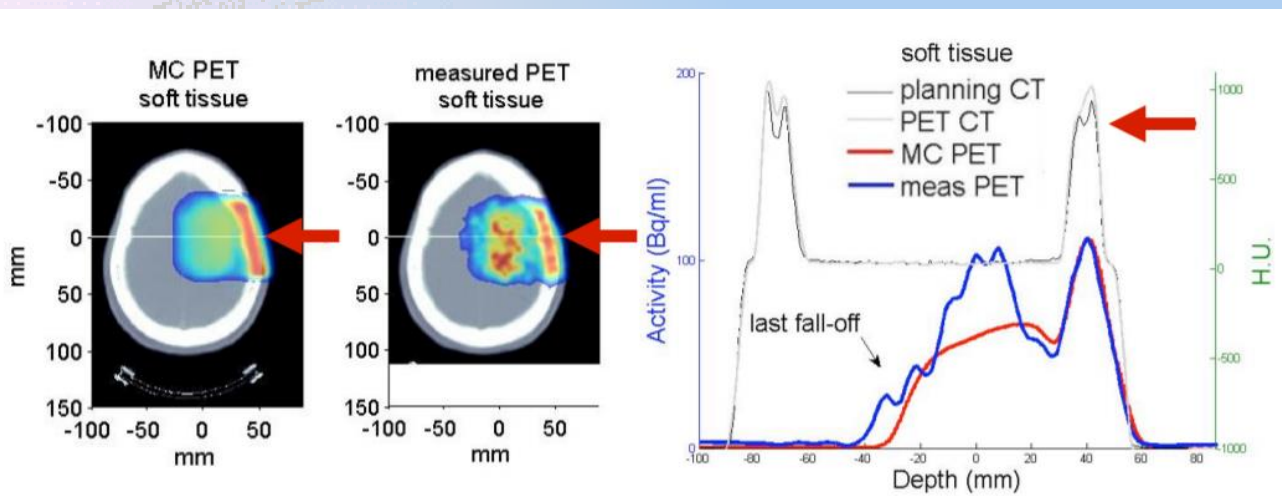
✗ 价格昂贵

✗ 技术要求高

✗ 成像存在伪影

Off-line PET: 临床偏差分析

- 生物学清除



通过蒙特卡罗模拟和实验PET测量数据得出生物学清除效应对PET射程监测造成偏差:

Bone:

2.4 mm

Bone/soft tissue:

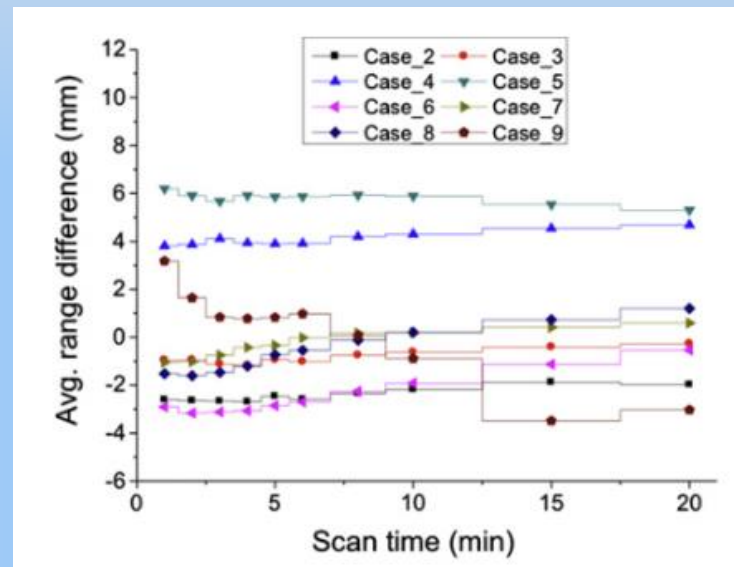
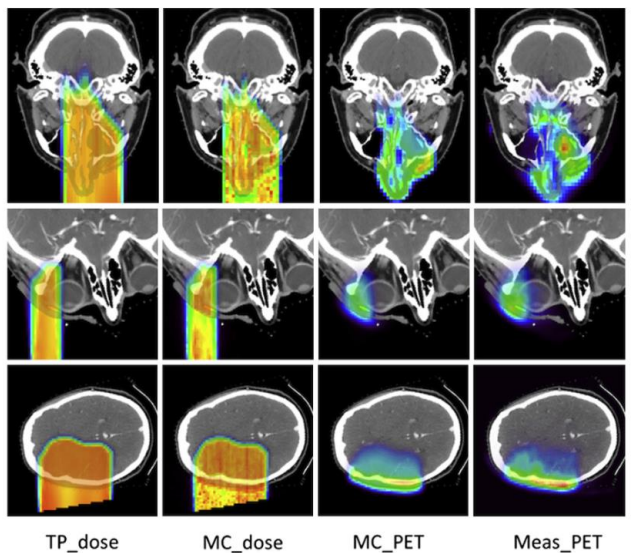
2.2 mm

Soft tissue:

4.3 mm

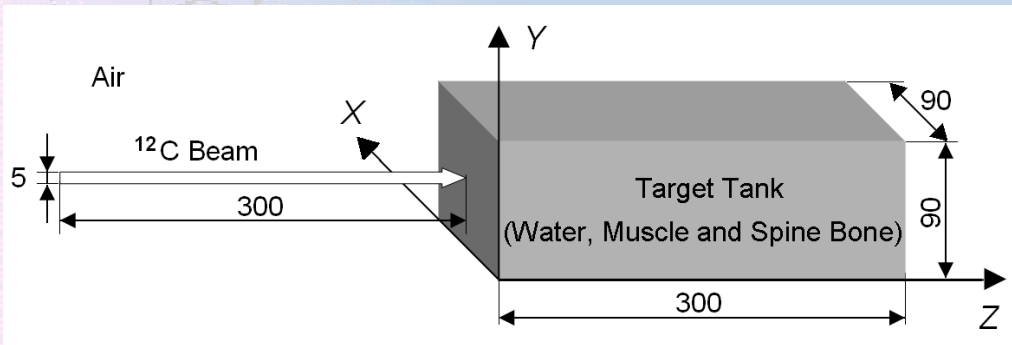
In-room PET: 临床应用

- 9个病人：质子治疗 + in-room PET
- Geant4 蒙特卡罗模拟结果作为金标准
- 研究了不同扫描时间对射程精度的影响

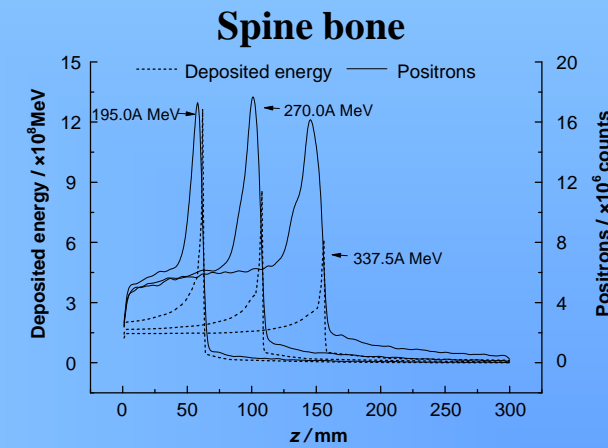
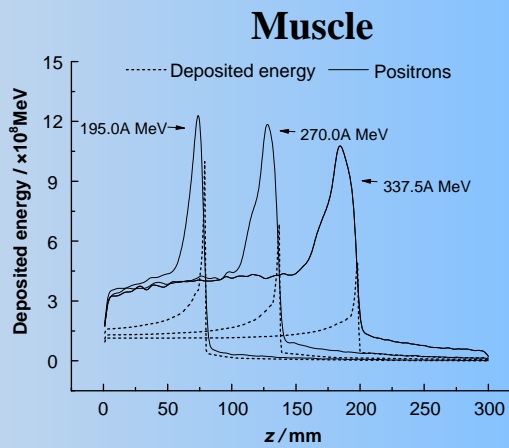
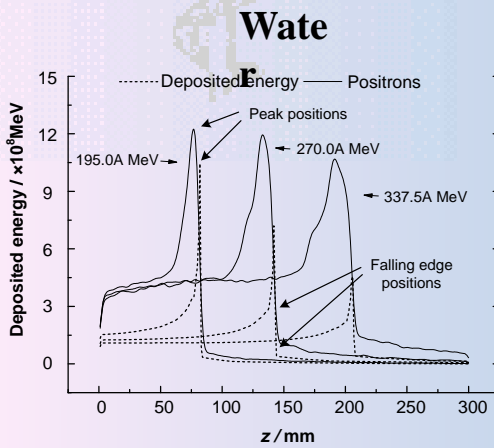


- 模拟与PET测量的平均射程差在2mm以内
- 潜在最佳的扫描时间在5分钟

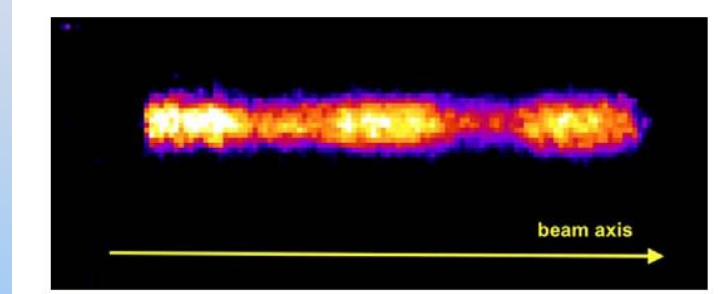
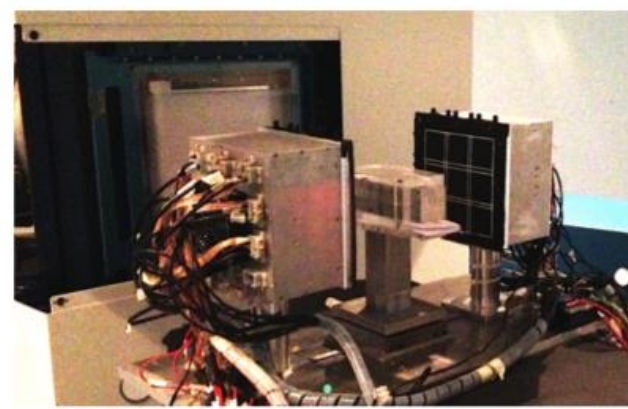
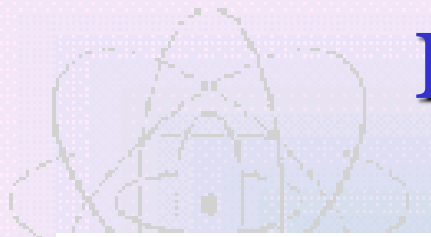
使用In-beam PET监控重离子癌症治疗的GATE模拟研究



- 模拟了不同能量的C-12射束与不同物质相互作用时的剂量分布和正电子分布
- C-12剂量和正电子在入射方向上的分布具有高度相关性: Bragg峰和正电子峰的下降沿在1mm的误差范围内



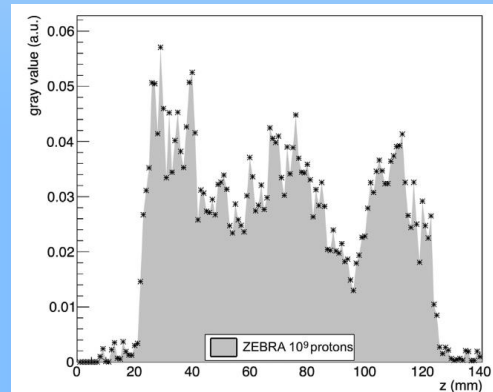
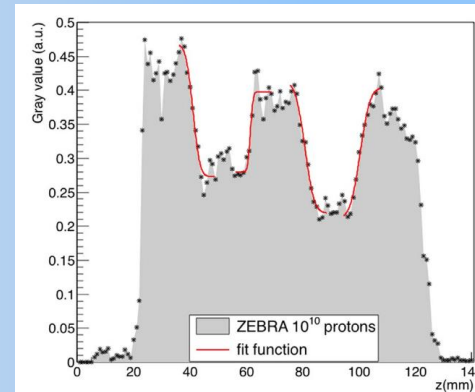
In-beam PET: DoPET



10¹⁰质子PET成像

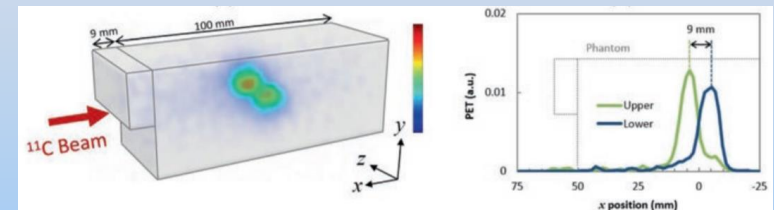
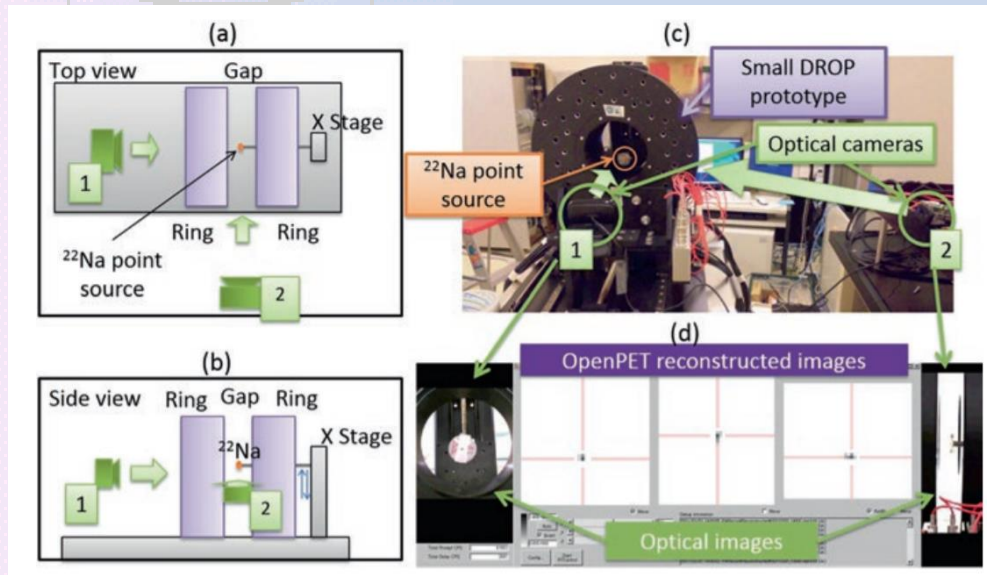
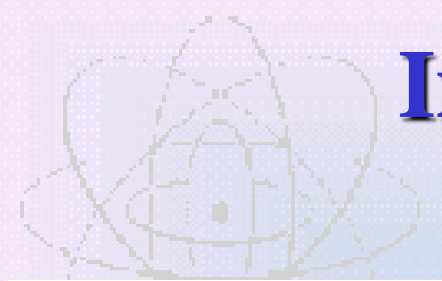
DoPET系统

- 双探头：LYSO
- 9个模块组成一个探头
- 23 x 23 晶体阵列
- 3ns 符合时间窗

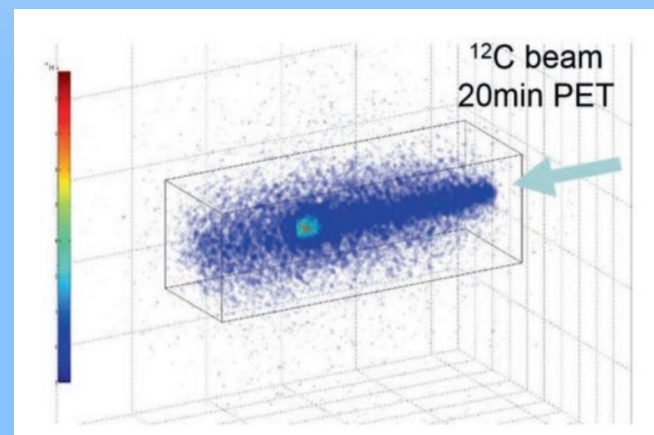


不同质子数目下的PET图像分布：
监控射程精度受噪声影响较大

In-beam PET: Open PET



^{11}C 笔形束实验



^{12}C 离子束20分钟PET成像结果

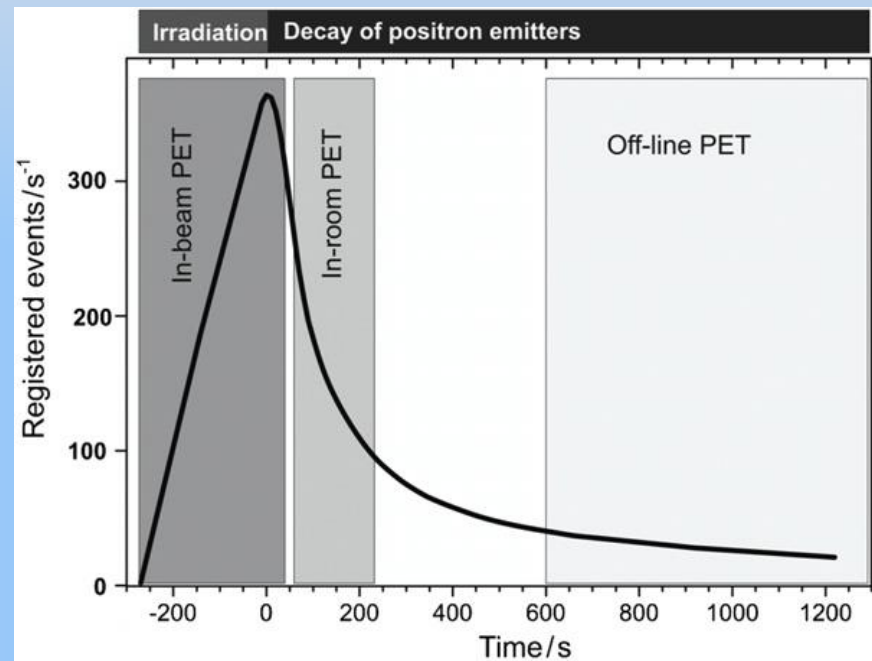
双环Open PET系统

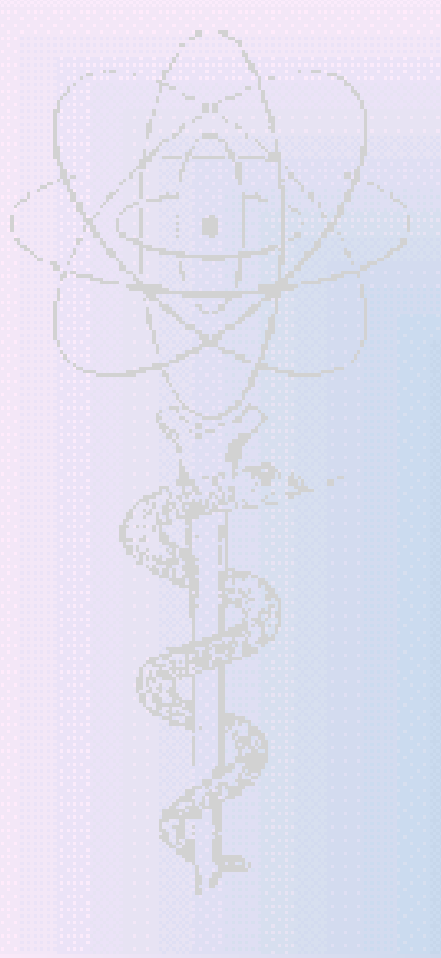
- 16x16x4 GSOZ
- 4 层DOI探测器
- 64 通道PMT



PET射程监测小结

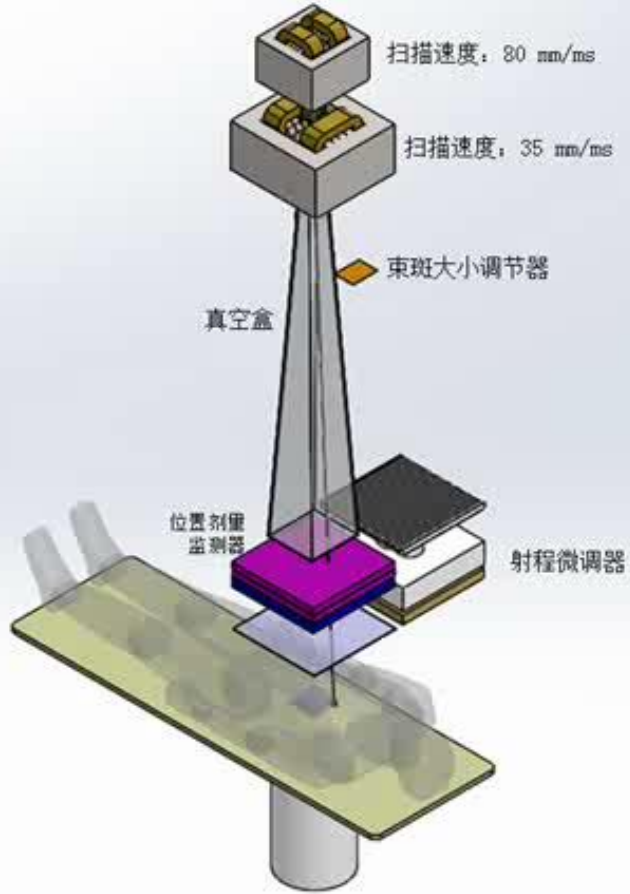
- 三种PET监测方案是在质子治疗（正电子核素产生）的不同时间进行监测，off-line PET的收集信息时间过晚导致大多数短半衰期核素已衰变，in-beam PET的探测时刻最及时，同时没有再定位误差，因而in-beam PET的图像活度高，射程监测精度也高，对于质子重离子射程的检测误差可控制在1 mm以内。





瞬发 γ 光子监测

- 实时监测?
- 剂量监测?

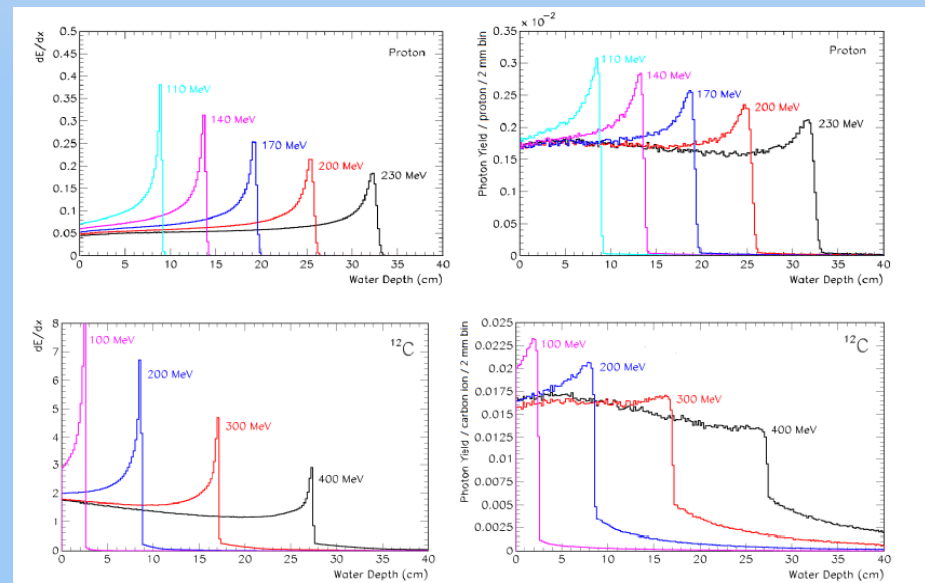


瞬发光子成像原理

- 质子、重离子轰击原子核使其激发，并瞬时（ $10^{-19} \sim 10^{-9}$ s）退激产生瞬发光子，瞬发光子分布与粒子能量沉积分布空间相关度高

质子治疗中产生的常见瞬发光子能量^[1]

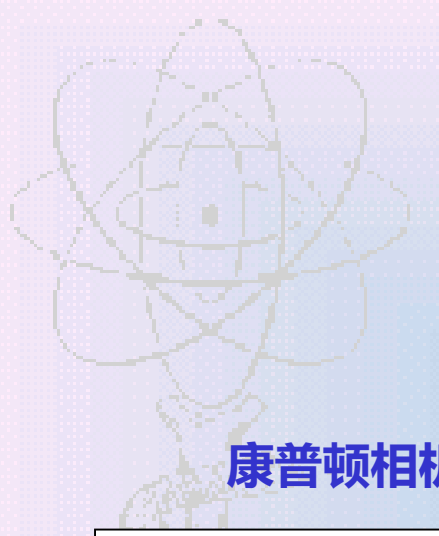
瞬发光子能量 MeV	反应过程	退激过程	平均寿命 s
2.124	$^{12}\text{C}(p, x)^{11}\text{B}^*$	$^{11}\text{B}^* \rightarrow \text{g.s.}$	5.5×10^{-15}
2.313	$^{14}\text{N}(p, p')^{14}\text{N}^*$ $^{16}\text{O}(p, x)^{14}\text{N}^*$	$^{14}\text{N}^* \rightarrow \text{g.s.}$	9.8×10^{-14}
4.444	$^{12}\text{C}(p, 2p)^{11}\text{B}^*$ $^{14}\text{N}(p, x)^{14}\text{B}^*$	$^{11}\text{B}^* \rightarrow \text{g.s.}$	5.6×10^{-19}
5.298	$^{16}\text{O}(p, x)^{15}\text{N}^*$	$^{15}\text{N}^* \rightarrow \text{g.s.}$	1.2×10^{-14}
6.129	$^{16}\text{O}(p, p')^{16}\text{O}^*$	$^{16}\text{O}^* \rightarrow \text{g.s.}$	2.7×10^{-11}



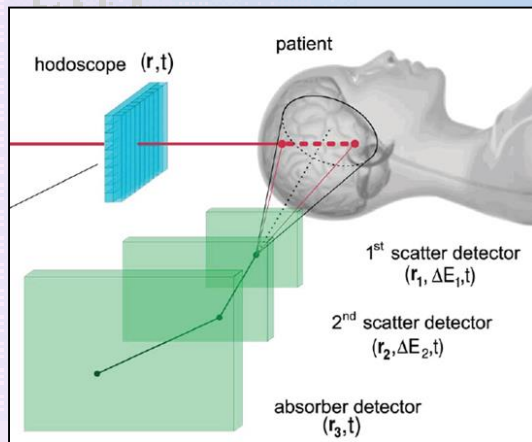
粒子能量沉积（左）和瞬发光子产生分布（右）：
上方为质子束入射水中情况，下方为碳离子入射水
中情况^[2]

[1] Kozlovsky, et.al, 2002 [2] Smeets J., 2012

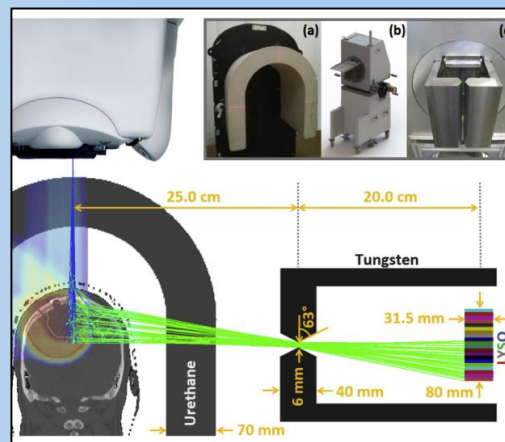
瞬发光子成像技术



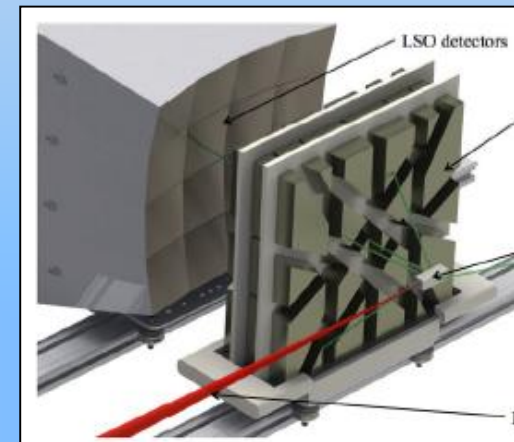
康普顿相机



单缝准直伽马相机



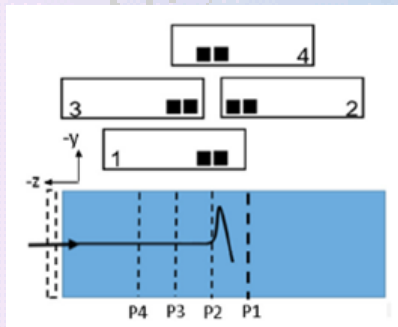
多缝准直伽马相机



康普顿相机



- 系统实现



Polaris J 探测器 (H3D Inc.)

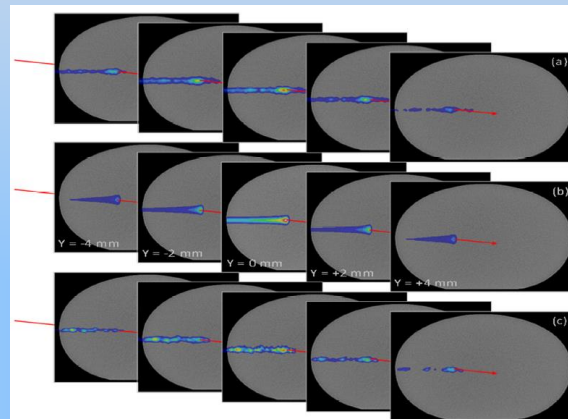
四个探测器 + 同步符合计数模块

每个探测器包含 2×2 个CZT晶体模块

每个晶体模块包含 11×11 根晶体

晶体尺寸 $2 \times 2 \times 1.5 \text{ cm}^3$ (1,2) $2 \times 2 \times 1 \text{ cm}^3$ (3,4)

- 成像效果评估

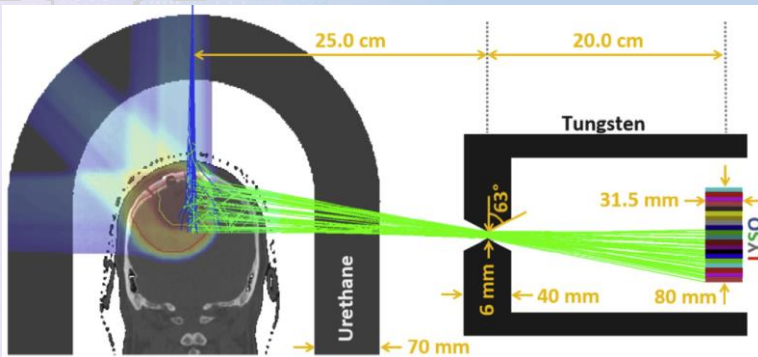


(a) 6.29×10^8 个质子子入射时瞬发光子图像, (b)质子剂量分布, (c) 1×10^8 个质子入射时瞬发光子图像

布拉格峰位置偏移小于3mm

单缝准直相机

- 系统实现



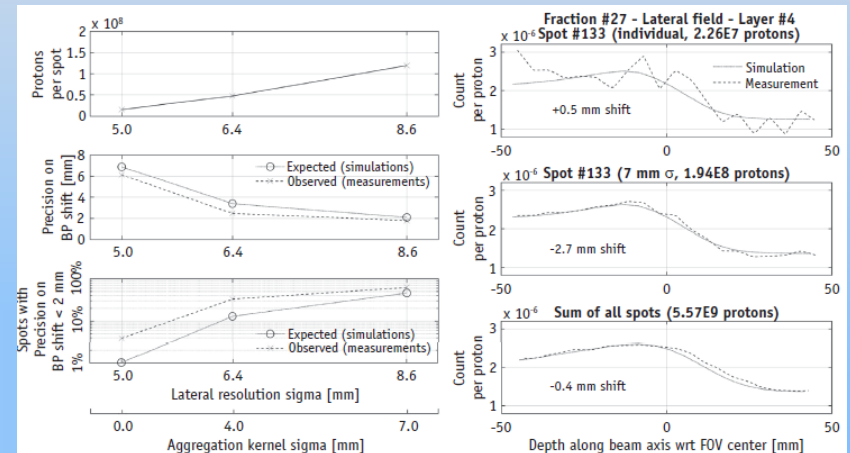
准直器

- 材料: 钨
- 厚度: 40 mm
- 刃口宽度: 6 mm

探测器

- 2×20 LYSO晶体
- 晶体尺寸:
100 × 4× 31.5 mm³

- 成像效果评估

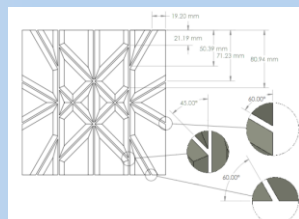
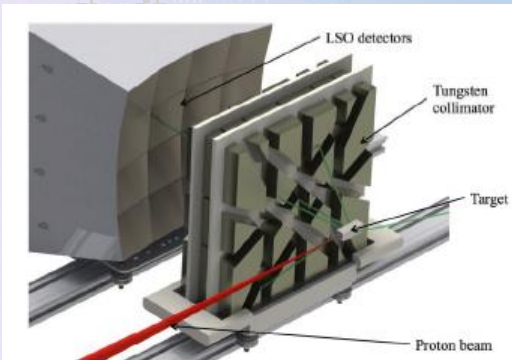


对于6个治疗方案，不同入射位置
位置偏移均小于2mm

多缝准直相机



- 系统实现



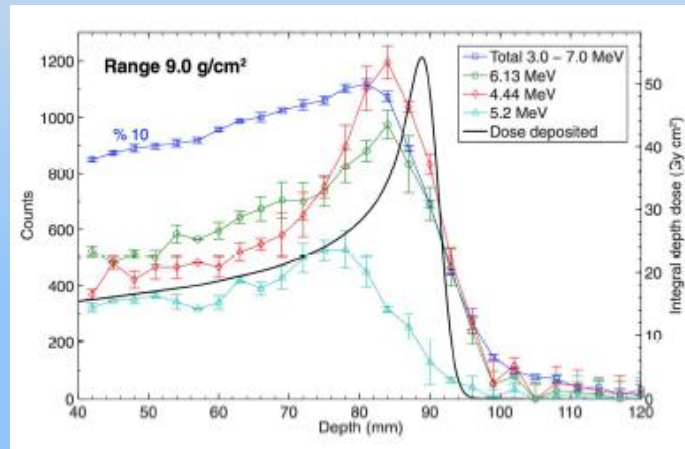
准直器

- 材料: 钨
- 尺寸: $20 \times 20 \times 7.5 \text{ cm}^3$
- 刃口宽度: 2 mm
- 刃口张角: 20°

探测器

- 4×4 LSO晶体
- 模块包含 12×12根晶体
- 晶体尺寸: $4 \times 4 \times 20 \text{ mm}^3$

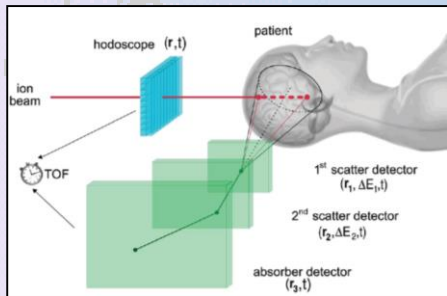
- 成像效果评估



布拉格峰定位精度（探测到位置对实际变化的灵敏度）小于1mm
布拉格峰位置偏移小于1.6mm，优于康普顿相机和单缝准直相机

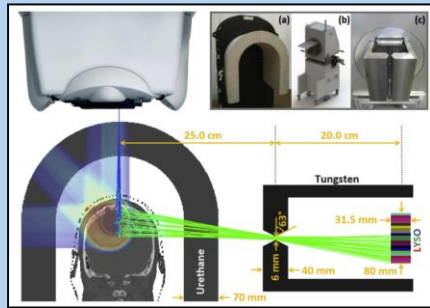
瞬发光子成像技术小结

康普顿相机^[1]



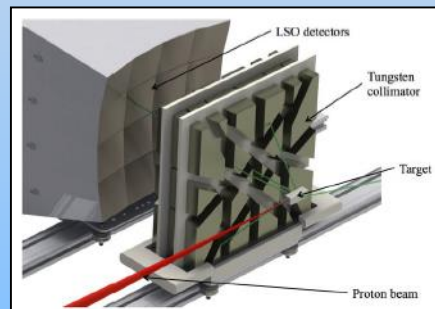
- ✓ 三维成像
- ✓ 高探测效率
- ✗ 算法及系统实现复杂
- ✗ 高计数率导致随机事件

单缝准直相机^[2]



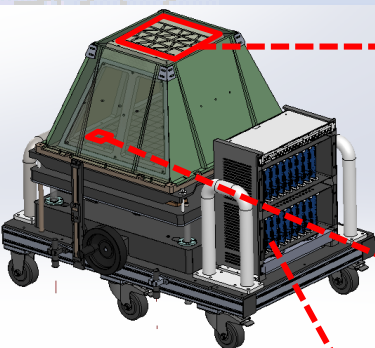
- ✓ 分辨率较高
- ✓ 技术简单
- ✗ 探测效率低
- ✗ 仅适用于一维射程监测

多缝准直相机^[3]

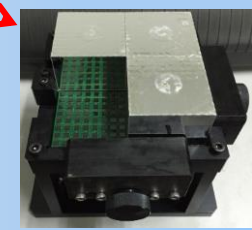


- ✓ 三维成像
- ✓ 分辨率较高
- ✓ 探测效率较高
- ✗ 系统设计复杂

PGI 系统设计-清华



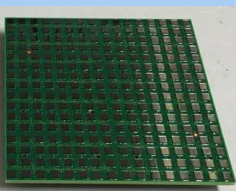
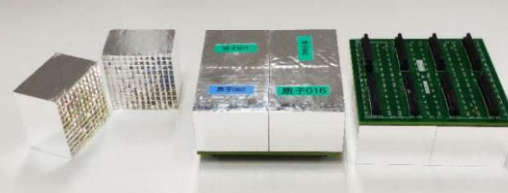
Multi-slit collimator based on Tungsten alloy



Detector based on BGO and SiPM



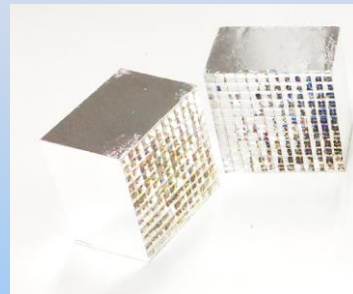
Data acquisition electronics



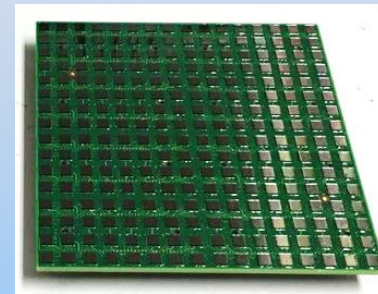
Detector design based on BGO and SiPM



Detector module



BGO block

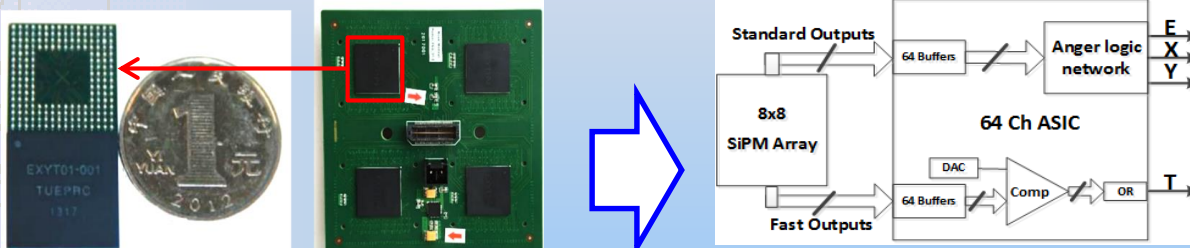


SiPM array

- Crystal pixel size: $3.5 \text{ mm} \times 3.5 \text{ mm} \times 30 \text{ mm}$
- 30 mm BGO: ~60% detection efficiency for 2~8 MeV gamma
- BGO block size: 12×12 , SiPM array size: 8×8
- Each detector module contains 2×2 BGO blocks
- Whole system: 6×5 detector modules used

System electronics design

- Detector readout electronics



Detector readout based on customized ASIC-EXYT

- Data acquisition electronics

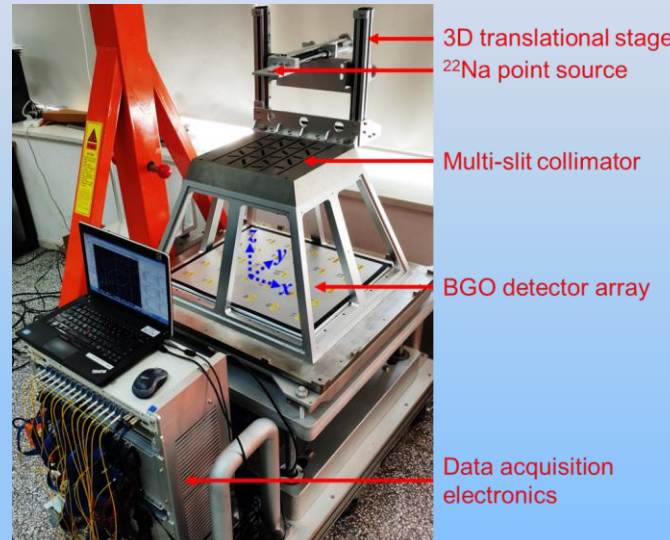


Digital processing board (DPB)

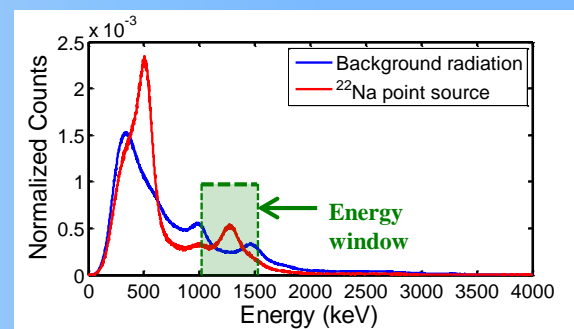
- 12-bit, 80 MHz ADC for digitization of E, X and Y signals from ASIC
- Each DPB handles 2 detector modules
- Total 15 DPBs used for the whole PGI system

System performance evaluation: experiment

- Assembled PGI system without radiation shielding components
- ^{22}Na point source ($14.3 \mu\text{Ci}$, $\phi 1.8 \text{ mm}$)
- Energy window: $1275 \text{ keV} \pm 20\%$
- Three different source positions, 10 min acquisition for each position
- 2 h background radiation acquisition for background counts correction
- Source-collimator distance: 250 mm, Collimator-detector distance: 375 mm
- FWHM resolution calculated for x and y directions from reconstructed images

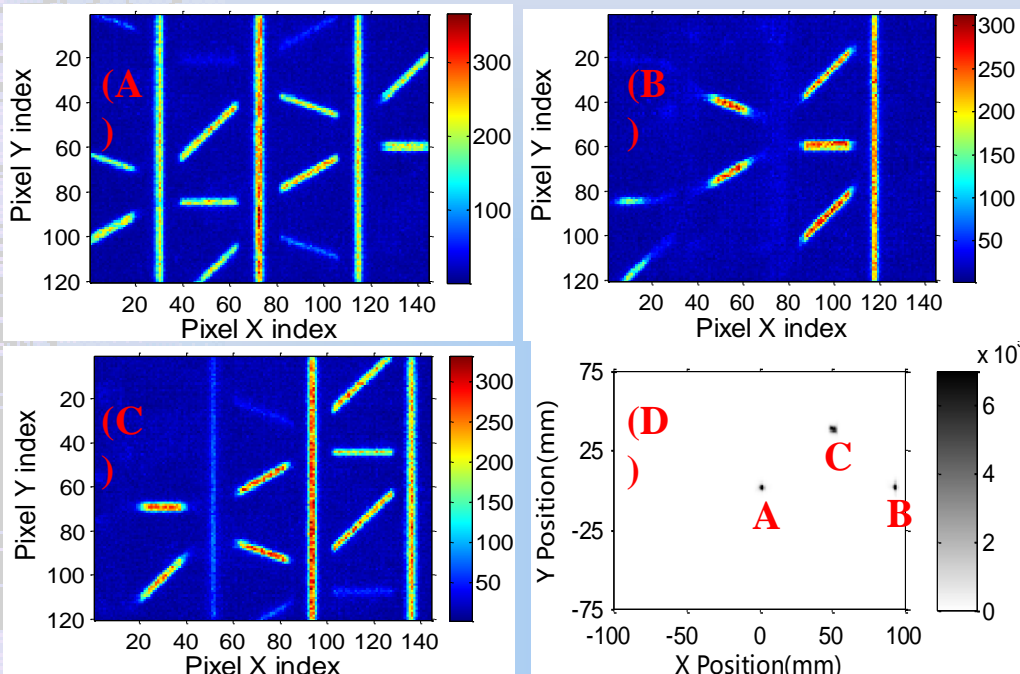


Measured background radiation projection



Measured energy spectrum

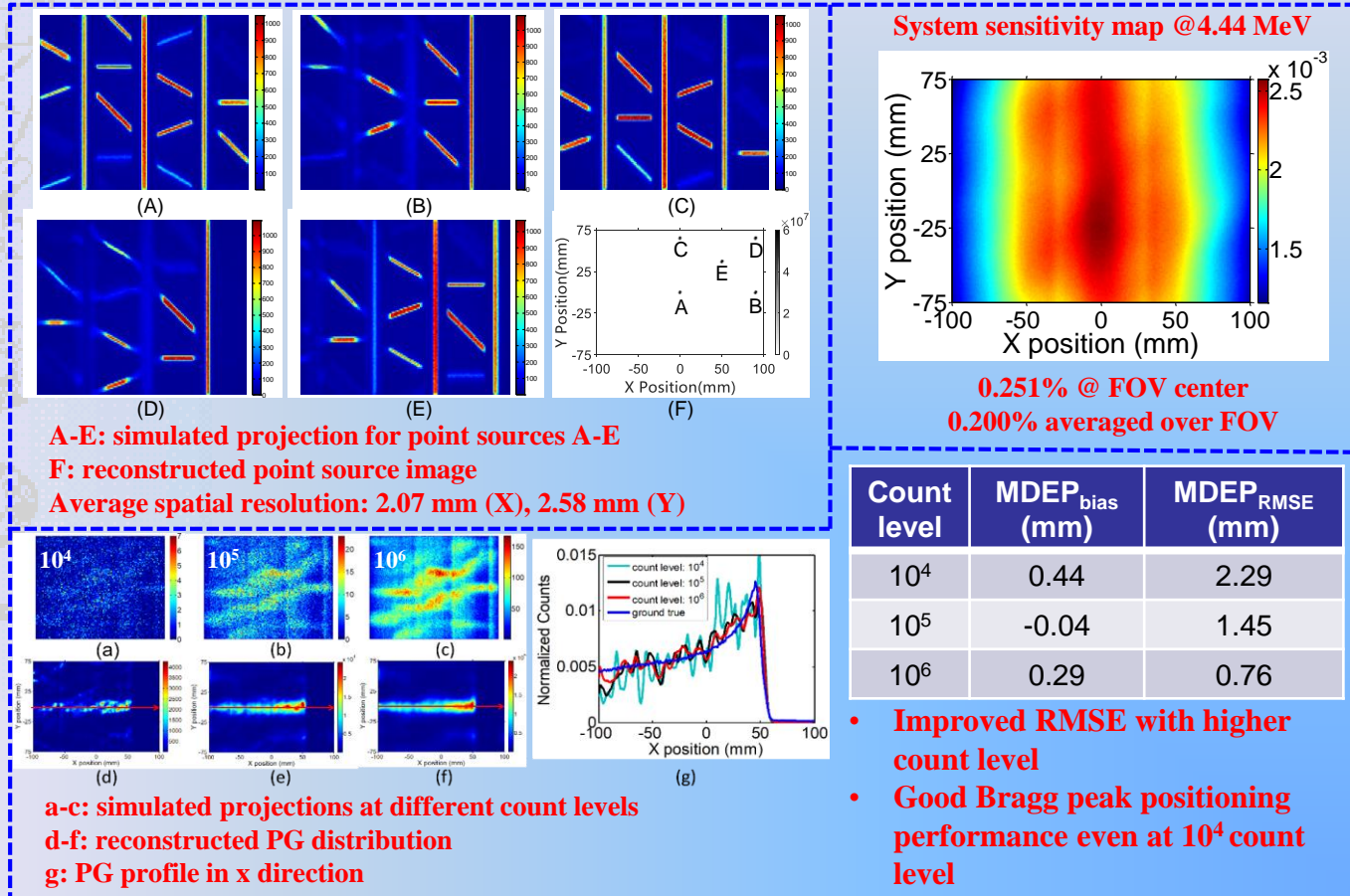
Results: point source experiments

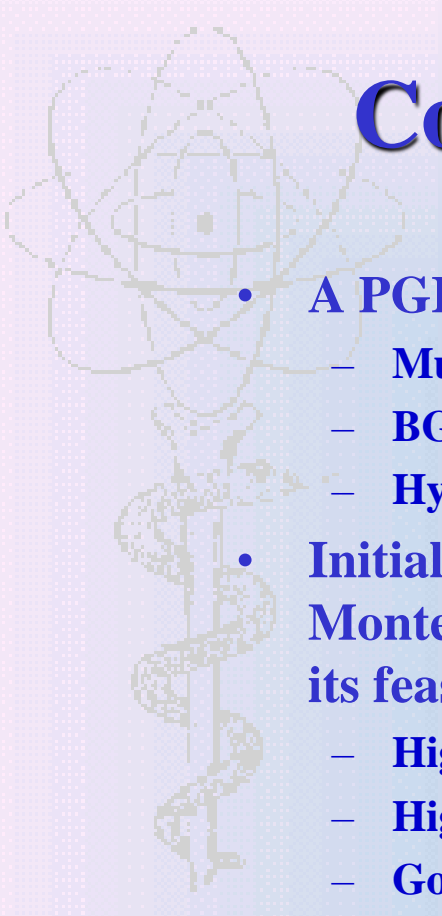


- A-C: measured point source projections for three different point source positions
- D: reconstructed point source images
- Achieved spatial resolution: <3mm

SourceID		A	B	C
FWHM resolution (mm)	X direction	1.62	1.53	2.56
	Y direction	2.10	1.56	1.67

Results: proton beam simulations



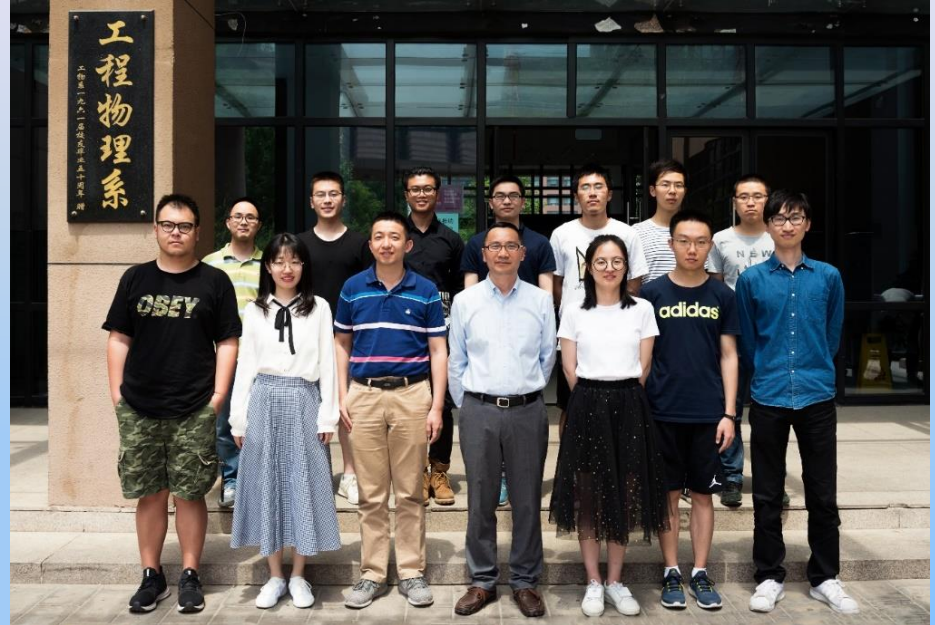


Conclusions/Future work

- A PGI system for proton therapy monitoring
 - Multi-slit collimator
 - BGO + SiPM for 2-8 MeV prompt gamma detection
 - Hybrid system response modelling for image reconstruction
- Initial detector and system performance evaluation with Monte Carlo simulations and experiments demonstrate its feasibility for prompt gamma imaging
 - High sensitivity: 0.25% @ FOV center
 - High spatial resolution: <3 mm
 - Good Bragg peak positioning capability: 2.29 mm @ 10^4 counts
- Future work: system performance evaluation with high energy gamma isotopes and in real proton therapy facility



谢谢！



Acknowledgements

- Funding
 - National Natural Science Foundation of China (No. 81727807, No. 11375096, No.11575096, No. 11605008)
 - National Key Research and Development (R&D) Plan of China (Grant ID. 2016YFC0105405)